

ЗУБОРЕЗНЫЕ ГРЕБЕНКИ С РАЗЛИЧНЫМИ СХЕМАМИ СРЕЗАНИЯ ПРИПУСКА

Змінні по формі зрізувані прошарки матеріалу при нарізанні зубчастих коліс мають ділянки, товщина яких наближується до нуля, що негативно впливає на стійкість інструмента. Для виявлення цих ділянок вирішена задача визначення товщини зрізу при обробленні зубчастих коліс гребінками. Наведено графічне вирішення цієї задачі, на основі якого отримані аналітичні залежності для визначення товщини зрізу у будь-якій точці різальної кромки. Розглянуто можливі схеми зрізання припуску при обробленні прямозубих зубчастих коліс гребінками, запропоновано схему багатопроходного оброблення, показано переваги та недоліки схем зрізання припуску, розглянутих у статті.

Variables on a form the cut off layers of material at cutting of gear-wheels have areas, the thickness of which approaches a zero which negatively influences on tool life. For the exposure of these areas the task of determination of thickness of cut is decided at treatment of gear-wheels by rack-shaped cutters. The graphic decision of this task, on the basis of which analytical dependences are got for determination of thickness of cut in any point of cutting edge, is resulted. The possible charts of cutting away of assumption are considered at treatment of spur by rack-shaped cutters, the chart of multipass treatment is offered, advantages and lacks of charts of cutting away of machining allowance, considered in the article are rotined.

Введение.

При обработке зубчатых колес используются зуборезные гребенки. Среди инструментов, обрабатывающих зубчатые колеса по методу обкатки, гребенки являются идеальным теоретически точным инструментом [1-7].

Это обусловлено тем, что гребенки затачиваются по передней плоскости. При заточке удаляется изношенная режущая кромка и обнаруживается новая той же самой формы. Это обеспечивает обработку и новой и переточенной гребенками одних и тех же зубчатых колес.

Область применения зуборезных гребенок непрерывно расширяется, особенно при обработке крепномодульных колес.

Работоспособность зуборезных гребенок и, соответственно, производительность обработки зубчатых колес в значительной степени зависит от принятой при конструировании гребенок схемы срезания припуска.

Однако вопросы разработки зуборезных гребенок при различных схемах срезания припуска не решены. Для разработки прогрессивных схем срезания припуска, прежде всего, необходим анализ толщин среза, которые в процессе нарезания зубчатых колес имеют различную форму от параллелепипеда, треугольника, Г-образной формы до П-образной. Вопросы перехода от П-образной формы к Г-образной решены [8, 9].

При нарезании колес гребенками, как и другими инструментами, работающими методом обкатки, следует учитывать, что при входе и выходе зубьев наблюдаются толщины среза, близкие к нулю, что отрицательно сказывается на стойкости инструмента. Определение таких толщин в процессе работы любого инструмента является актуальной задачей.

Поэтому в данной статье рассмотрена задача определения толщин среза и предложены новые схемы срезания припуска при обработке прямозубыми зуборезными гребенками эвольвентных прямозубых зубчатых колес.

Определение толщины среза при обработке зубчатых колес прямозубыми гребенками

Для успешного решения задачи создания совершенных конструкций инструментов необходимо знать характер загрузки различных участков режущих кромок. При нарезании зубчатых колес характером загрузки режущих кромок наиболее просто управлять, изменяя толщину среза. Выявляя наиболее неблагоприятные, с точки зрения теории резания, значения толщин среза, можно разрабатывать инструменты с прогрессивными схемами срезания припуска. При обработке зубчатых колес гребенками эта задача не рассматривалась.

Нагрузка исследуемой точки режущей кромки при обработке заданной заготовки известным инструментом главным образом определяется скоростью резания \bar{V} , толщиной среза a , а также продолжительностью ее контакта с материалом заготовки [2].

Рассмотрим графическое определение толщины среза.

Обработка зубчатых колес прямозубыми гребенками производится методом обкатки. Начальная прямая, связанная с зуборезной гребенкой, катится без скольжения по начальной окружности, связанной с обрабатываемым зубчатым колесом. Гребенка совершает возвратно-поступательные движения резания со скоростью \bar{V} , параллельной оси зубчатого колеса. При этом движения обкатки не осуществляется. Графически определим толщину среза a при обработке зуборезной гребенкой (рис. 1). При обработке зубчатых колес в рассматриваемом случае поверхности резания будут поверхностями зуборезной рейки, сопряженной с обрабатываемым зубчатым колесом. Будем считать, что в рассматриваемый момент времени поверхность резания, в сечении, перпендикулярном оси зубчатого колеса, будет иметь профиль сопряженной рейки ABCD, положение которого определяется размером PL.

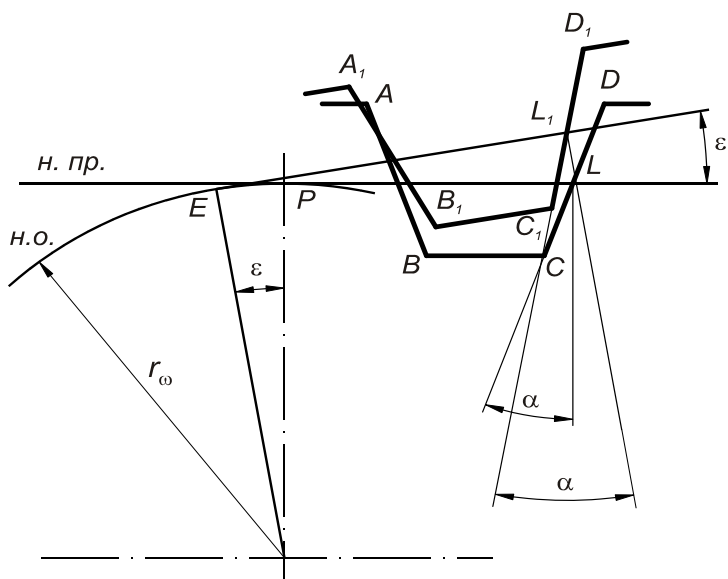


Рис. 1. Графическое определение толщины среза

смежными профилями поверхностей резания. Толщина a , например, в исследуемых точках прямой CD будет измеряться по нормали к прямой CD , измеряемым по нормали к прямой CD .

Для аналитического определения толщины среза воспользуемся формулой [2]:

$$a = \frac{(\bar{N} \cdot \bar{S})}{|\bar{N}|},$$

где \bar{N} - вектор нормали к обрабатываемой поверхности, \bar{S} - вектор подачи.

При аналитическом определении толщины среза вводятся системы координат $X_1Y_1Z_1$ и $X_2Y_2Z_2$ (рис. 2).

Система координат $X_1Y_1Z_1$ связана с выбранным положением режущей кромки в рассматриваемый момент срезания припуска. Система координат $X_2Y_2Z_2$ связана с положением рейки при предыдущем проходе. Положение центра L_2 системы координат $X_2Y_2Z_2$ в системе координат $X_1Y_1Z_1$ определяется размерами ΔX и ΔY . В соответствии с графическим решением величины ΔX и ΔY определяются по зависимостям:

$$\Delta X = (l + r_\omega \varepsilon) \sin \varepsilon - r_\omega (1 - \cos \varepsilon);$$

$$\Delta Y = l(1 - \cos \varepsilon) + r_\omega (\sin \varepsilon - \varepsilon \cos \varepsilon),$$

где l - расстояние от точки P (полюса зацепления) до точки L_1 .

Формулы преобразования координат будут:

$$X_1 = X_2 \cos \varepsilon + Y_2 \sin \varepsilon + \Delta X;$$

$$Y_1 = Y_2 \cos \varepsilon - X_2 \sin \varepsilon + \Delta Y.$$

При определении толщины среза выбираем в системе $X_1Y_1Z_1$ исследуемую точку A режущей кромки с координатами (X_{1A}, Y_{1A}) . Аналогичная точка B режущей кромки в системе координат $X_2Y_2Z_2$ будет иметь координаты $X_{2B}=X_{1B}$, $Y_{2B}=Y_{1A}$ (Рис.1).

По формулам преобразования координат рассчитываются координаты точки B (X_{1B} , Y_{1B}) в системе координат $X_1Y_1Z_1$:

$$X_{1B} = X_{1A} \cos \varepsilon + Y_{1A} \sin \varepsilon + \Delta X;$$

$$Y_{1B} = Y_{1A} \cos \varepsilon - X_{1A} \sin \varepsilon + \Delta Y.$$

Вектор подачи \bar{S} в исследуемой точке A в системе координат $X_1Y_1Z_1$ будет расстоянием от точки A до точки B :

$$\bar{S} = \bar{i}(X_{1A} - X_{1B}) + \bar{j}(Y_{1A} - Y_{1B}).$$

Вектор \bar{V} скорости резания идет параллельно оси Z_1 .

$$\bar{V} = \bar{k}$$

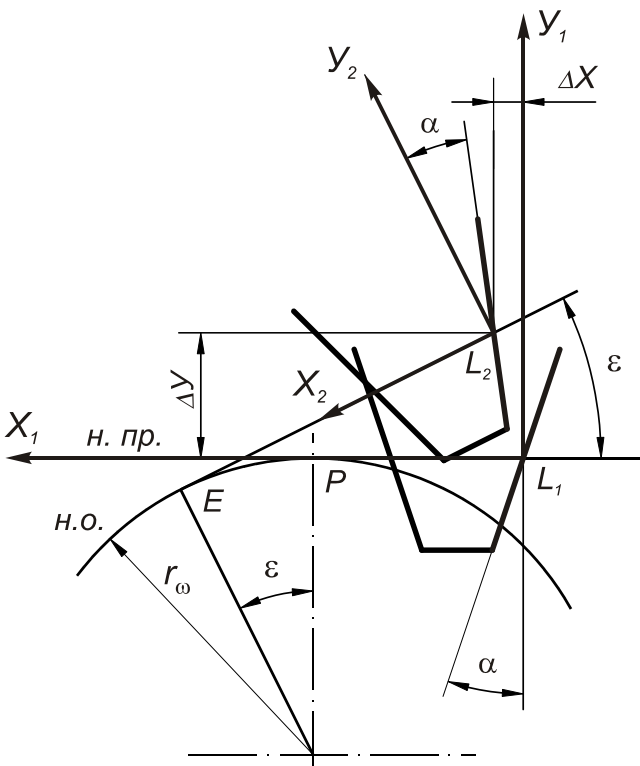


Рис. 2. Схема аналитического определения толщины среза

При обработке задается окружная подача S_0 , измеряемая по начальной окружности зубчатого колеса.

$$S_0 = \cup PE$$

Угол ε , соответствующий дуге $\cup PE$, и, соответственно, подаче S_0 будет равен:

$$\varepsilon = \frac{S_0}{r_\omega}$$

где r_ω - радиус начальной окружности обрабатываемого колеса.

Положение профиля поверхности резания предыдущего прохода гребенки будет $A_1B_1C_1D_1$. При этом начальная прямая будет занимать положение EL_1 . Расстояния EL_1 будет равно:

$$EL_1 = PL + S_0 = PL + r_\omega \cdot \varepsilon$$

В соответствии с расстоянием EL_1 вычерчивается положение профиля $A_1B_1C_1D_1$ поверхности резания предыдущего прохода. Сечение среза заключено между рассматриваемыми

При определении толщины среза a вместо реальной режущей кромки инструмента можно выбирать произвольную прямую линию, касательную к поверхности резания в исследуемой точке режущей кромки. За такую прямую примем прямую, расположенную в плоскости, перпендикулярной оси обрабатываемого зубчатого колеса.

В рассматриваемом случае примем вектор \bar{P} равным:

$$\bar{P} = \bar{i} \cos \varphi - \bar{j} \sin \varphi,$$

где $\varphi = 90^\circ - \alpha$.

Подставляя величины $\bar{S}, \bar{P}, \bar{V}$ в общую формулу для определения толщины среза a будем иметь:

$$a = \frac{(X_{1A} - X_{1B})(-\sin \varphi) + (Y_{1A} - Y_{1B})(-\cos \varphi)}{\sqrt{\sin^2 \varphi + \cos^2 \varphi}}.$$

Отсюда толщина среза a будет равна:

$$a = (X_{1A} - X_{1B}) \cos \alpha + (Y_{1A} - Y_{1B}) \sin \alpha.$$

Для вершинной кромки при $\alpha = 90^\circ$ будем иметь:

$$a = Y_{1A} - Y_{1B}.$$

По предложенной методике определения толщины среза a и выведенным зависимостям можно оценивать загрузку режущей кромки гребенки, на основе чего разрабатывать более прогрессивные схемы срезания припуска.

Схемы срезания припуска зуборезными гребенками.

Известно, что заданное обрабатываемое прямозубое эвольвентное зубчатое колесо имеет большое количество сопряженных с ним исходных реек с прямолинейным профилем с разнообразными углами профиля α и различными шагами t , измеренными вдоль начальной прямой. Расстояние t между смежными зубьями рейки, измеренное на начальной прямой, равно шагу зубьев обрабатываемого зубчатого колеса, измеренному на начальной окружности:

$$t = \frac{2\pi r_\omega}{Z},$$

где Z – число зубьев обрабатываемого зубчатого колеса.

Общим у всех реек, сопряженных с заданным зубчатым колесом, будет шаг t_H нормали – расстояние между смежными прямыми соседних зубьев реек, измеренное по перпендикуляру к ним. Шаг t_H по нормали равен шагу зубьев обрабатываемого зубчатого колеса, измеренному по его основной окружности:

$$t_H = t \cdot \cos \alpha.$$

Используя различные, сопряженные с заданным обрабатываемым колесом рейки, проектируются прямозубые зуборезные гребенки с разнообразными величинами углов профиля α .

При изменении угла профиля рейки α , соответственно, меняется схема срезания припуска и работоспособность инструмента. Наиболее часто угол профиля исходной рейки выбирают равным $\alpha=20^\circ$. Зуборезные гребенки могут иметь уменьшенный угол профиля α сопряженной исходной рейки. Снижение величины угла α профиля сопряженной исходной рейки способствует увеличению продолжительности зацепления зуборезной гребенки с обрабатываемым колесом при его нарезании. Это приводит к снижению шероховатости и гранности обработанной поверхности. При этом создаются благоприятные условия для увеличения стойкости инструмента и производительности обработки, за счет соответствующего изменения схемы срезания припуска. Практика показывает, что угол профиля исходной рейки α можно уменьшать до $\alpha=12^\circ$. Однако при малых углах профиля исходной рейки зуборезные гребенки, спроектированные на их основе, имеют малые величины задних углов на боковых режущих кромках, что, соответственно, снижает работоспособность инструмента. Анализ и соответствующие экспериментальные исследования с учетом двух различных тенденций влияния угла профиля исходной рейки α на процесс резания определяет их целесообразное значение.

Изменять схему сечения срезаемого припуска можно также за счет многопроходной обработки.

Схема срезания припуска, характеризующая процесс обработки прямозубыми гребенками, рассматривается в сечении, перпендикулярном оси обрабатываемого прямозубого зубчатого колеса. Во всех сечениях, перпендикулярных оси обрабатываемого колеса, картина идентичная.

Поэтому, анализируя схему срезания припуска, достаточно рассмотреть картину только в одной плоскости.

Многопроходную обработку можно вести одной и той же зуборезной гребенкой при различных проходах, и, таким путем, изменять схемы срезания припуска и добиваться повышения стойкости инструмента и производительности обработки.

При многопроходной обработке стандартной прямозубой гребенкой можно добиться существенного повышения стойкости инструмента и производительности обработки. При однопроходной обработке прямозубыми гребенками прямозубых зубчатых колес схема срезания припуска (рис. 3) характеризуется тем, что зуб гребенки длительное время находится в контакте с заготовкой, что вызывает его нагрев.

Крім того, на вихідній стороні зуба гребенки создаються тонкі стружки – малі величини толщин среза a . Це викликає підвищений износ зуба гребенки. При двухпроходній обробці однієї і тієї ж гребенкою (рис. 4) при збільшеної кругової подачі режущі кромки зуба гребенки залишаються в контакті з заготовкою здебільшого короткий час, що знижує нагрів режущих кромок, і на вихідній стороні создаються здебільшого товсті стружки. В результаті при двухпроходній обробці, як показують експериментальні дослідження, значно зростає стійкість інструменту і продуктивність обробки.

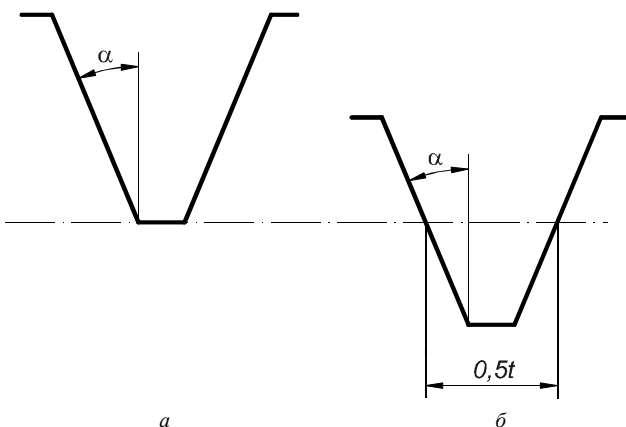


Рис. 4. Схема срезания припуска при двухпроходной обработке

стійкості інструменту і продуктивності обробки. При цьому режущі кромки інструменту залишаються в контакті з оброблюваним зубчастим колесом здебільшого короткий час, що знижує нагрів режущих кромок.

При другому проході гребенкою повної висоти профілю зменшуються довжини активних ділянок бокових режущих кромок, зростає товщина среза a на цих кромках, зменшується час контакту інструменту з оброблюваним зубчастим колесом, що сприяє підвищенню стійкості інструменту.

Таким чином, перший прохід є чорновим проходом. Тоді, наприклад, для першого прохода можна використовувати гребенку з зменшеною висотою зубів, спроектовану на базі початкової прямозубої рейки з кутом профілю $\alpha=30^\circ$. Для другого прохода використовувати гребенку, спроектовану на основі початкової прямозубої рейки повної висоти з кутом профілю $\alpha=20^\circ$ або з кутом профілю $\alpha=12^\circ$. Це викликає відповідне змінення схем срезання припуска при першому і другому проходах.

При двухпроходній обробці цілесообразні великі активні частини початкової рейки і кути їх профілів α залежать від модуля, числа зубів і матеріала оброблюваного зубчастого колеса. Двухпроходну обробку рекомендується використовувати для зубчастих колес з модулем більше 3мм.

Выводы.

Решена задача визначення товщини среза a в різних точках режущої кромки гребенки при обробці прямозубих зволівентних зубчастих колес.

Предложен способ двухпроходной обработки зубчатых колес прямозубыми зуборезными гребенками, отличающийся тем, что с целью повышения производительности обработки при первом проходе используется гребенка с уменьшенной высотой зуба и увеличенной длиной вершинной режущей кромки, а обработка при втором проходе осуществляется стандартными гребенками с уменьшенной высотой срезаемого слоя.

Список литературы.

1. Иноzemцев Г. Г. Проектирование металлорежущих инструментов. — М.: Машиностроение, 1984. — 272 с.
2. Родин П.Р. Основы проектирования режущих инструментов. Киев, Выща школа, 1990. — 424 с.
3. Родин П.Р. Металлорежущие инструменты: Учебник для вузов. -К.: Выща школа , 1986.- 455 с.
4. Сахаров Г.Н. Обкаточные инструменты. М. «Машиностроение», 1983.- 232с.
5. Сухоруков Ю.Н., Евстигнеев Р.Н. Инструменты для обработки зубчатых колес методом свободного обкатка. Киев, Техника, 1983.-120 с.
6. Семенченко И.И Матюшин В.Н. Сахаров Г.Н. Проектирования металлорежущих инструментов. М.Машгиз, 1962.-952с.
7. Кирсанов Г. Н. Проектирование инструментов. Кинематические методы. — М.: Машиностроение, 1978. — 288 с.
8. Лашнев С.И. Формообразование зубчатых деталей рецичными и червячными инструментами. М.,Машиностроение, 1971.
9. Медведицков С. Н. Червячные фрезы с новыми схемами резания. — М.: Наука, 1967.

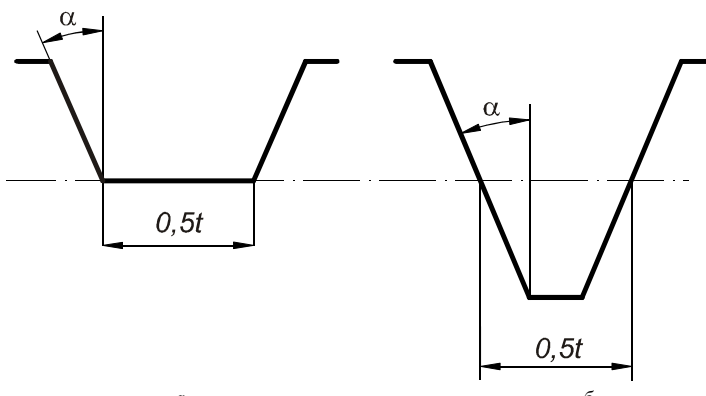


Рис. 5. Прямозубые гребенки первого (а) и второго (б) прохода